

ЭЛЕКТРООБРАЗОВАНИЕ ПИОНОВ У ПОРОГА:  
ОПРЕДЕЛЕНИЕ РАДИУСА ПИОНА  
И АНАЛИЗ АКСИАЛЬНО-ВЕКТОРНОГО ФОРМФАКТОРА НУКЛОНА

*А.С.Есаулов, Ю.И.Титов*

Анализируются формфактор пиона и аксиально-векторный формфактор нуклона, определенные из сечения электрообразования пионов на протоне у порога с разделением поперечной и продольной составляющих. В результате подгонки получен радиус пиона  $\langle r_\pi^2 \rangle^{1/2} = 0,48 \pm 0,10 \text{ fm}$  и значение аксиальной массы  $M_A = 0,97 \pm 0,06 \text{ Гэв}$  (дипольная подгонка).

Исследование электрообразования пионов на протоне у порога с разделением поперечной и продольной компонент сечения позволяет определить не только аксиально-векторный формфактор нуклона  $F_A$  (с меньшей, чем в других опытах модельной неопределенностью), но и формфактор  $\pi$ -мезона  $F_\pi$  [1]. Такие измерения проведены нами на харьковском линейном ускорителе электронов при переданных 4-импульсах  $k^2 = 0,136, 0,195$  и  $0,311 \text{ Гэв}^2$  [2, 3]. С помощью модели [1] получены  $F_A$  и  $F_\pi$  из поперечного  $E_{\circ+}$  и продольного  $S_{\circ+}$  мультиполей  $s$ -волны в пороге [2, 3].

В настоящей работе проводится аппроксимация  $k^2$  – зависимостей формфакторов  $F_A$  и  $F_\pi$ . Подгонка выполнена с целью определения среднеквадратичного радиуса  $\pi$ -мезона  $\langle r_\pi^2 \rangle^{1/2}$  из  $F_\pi(k^2)$  и аксиальной массы  $M_A$  из  $F_A(k^2)$ . Полученные результаты сравниваются с прямыми измерениями  $M_A$  в опытах по рассеянию нейтрино и  $\langle r_\pi^2 \rangle^{1/2}$  в опытах по рассеянию  $\pi$ -мезонов на электронах, а также с данными другого типа экспериментов по электророждению пионов.

Зависимость  $F_A(k^2)$  аппроксимировалась дипольным соотношением  $F_A = (1 + k^2/M_A^2)^{-2}$ . Предпочтительность дипольной подгонки по сравнению с монопольной была показана в работе [4], где измерения проведены до значений  $k^2 = 0,88 \text{ Гэв}^2$ . Оптимальная величина  $M_A$  для наших данных составляет  $0,97 \pm 0,06 \text{ Гэв}$  и в пределах ошибок совпадает с результатами анализа [4] совпаденческих опытов [4 – 7]:  $M_A = 0,96 \pm 0,03 \text{ Гэв}$ . В прямом эксперименте по рассеянию нейтрино достигнуто заметное увеличение точности и получено значение  $M_A = 0,84 \pm 0,11 \text{ Гэв}$  (из дифференциального сечения) и  $M_A = 0,98 \pm 0,13 \text{ Гэв}$  (из полного сечения) [8]. Согласие различного типа опытов очень хорошее, что дает веское обоснование применимости методов алгебры токов и гипотезы частичного сохранения аксиально-векторного тока к описанию электророждения у порога.

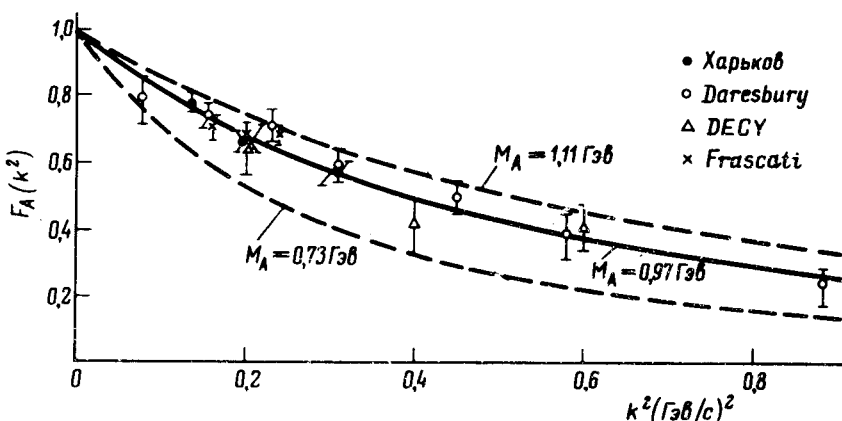


Рис. 1. Аксиально-векторный формфактор нуклона  $F_A(k^2)$  из экспериментов по электророждению пионов у порога

Результаты определения  $F_A$ , полученные нами [2, 3] и в ряде других лабораторий [4 – 7], приведены на рис. 1. Сплошная кривая соответствует наилучшей подгонке к харьковским данным. Пунктирными кривыми показан коридор величин  $F_A$  из нейтринного эксперимента [8]. Рис. 1 наглядно демонстрирует благоприятную ситуацию в экспериментальном определении аксиально-векторного формфактора нуклона.

На рис. 2 показаны значения  $F_\pi$  во времениподобной [9] и пространственноподобной [3, 10 – 12] областях переданного 4-импульса  $k^2$  и указан тип эксперимента. При определении радиуса пиона из наших данных необходимо было учесть, что  $k^2$  сравнительно велико и поведение формфактора пиона отличается от линейной зависимости  $F_\pi = 1 - \frac{1}{6} k^2 < r_\pi^2 >$ . В связи с этим, кроме линейной, проведены монопольная  $F_\pi = (1 + k^2/M_x^2)^{-1}$  и дипольная  $F_\pi = (1 + k^2/M_x^2)^{-2}$  подгонки с варьируемым параметром  $M_x$ . Результаты аппроксимации и следующие из них радиусы пиона приведены в табл. 1

В работе [3] формфакторы  $F_\pi(k^2)$  получены в предположении  $G_{en} = 0$ . Для выяснения степени чувствительности результата определения  $\langle r_\pi^2 \rangle^{1/2}$  к зарядовому формфактору нейтрона, мы получили  $F_\pi(k^2)$  при  $G_{en} = \frac{-\tau}{1 + 5,6\tau} G_{mn} > 0$ . Такое поведение  $G_{en}(k^2)$  следует из опытов по  $e-d$ -рассеянию [13]. Из табл. 1 видно, что эти значения зарядового формфактора нейтрона приводят к несколько меньшим радиусам пиона.

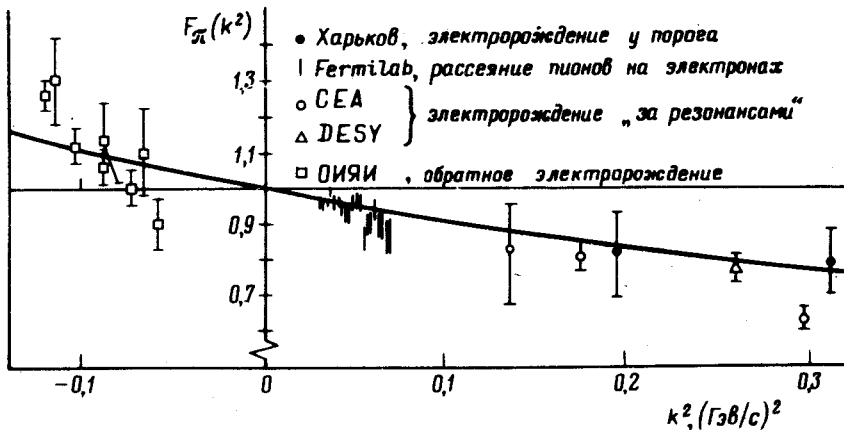


Рис. 2. Формфактор  $\pi$ -мезона  $F_\pi(k^2)$  во времениподобной и пространственноподобной областях переданного 4-импульса

К сожалению, анализ [13] находится в сильной зависимости от выбора волновой функции дейтрона и не дает однозначных выводов для  $G_{en}$ . Эта неопределенность вносит дополнительную погрешность в радиус пиона, составляющую  $\sim 0,08 \text{ ф}$ .

Т а б л и ц а 1

Вид параметризации	$G_{en} = 0$		$G_{en} = \frac{-\tau}{1 + 5,6\tau} G_{mn} > 0$	
	$M_x, \Gamma_{\theta\theta}$	$\langle r_\pi^2 \rangle^{1/2}, \phi$	$M_x, \Gamma_{\theta\theta}$	$\langle r_\pi^2 \rangle^{1/2}, \phi$
Дипольная	$1,49 \pm 0,30$	$0,46 \pm 0,09$	$1,76 \pm 0,44$	$0,39 \pm 0,09$
Монопольная	$1,01 \pm 0,21$	$0,48 \pm 0,10$	$1,21 \pm 0,32$	$0,40 \pm 0,10$
Линейная	—	$0,42 \pm 0,07$	—	—

Примечание:  $\tau = k^2/4M^2$ , где  $M$  — масса нуклона. Использована метрика, в которой  $k^2 > 0$ .

Дипольная и монопольная параметризации дают практически одинаковые значения  $\langle r_\pi^2 \rangle^{1/2}$ , а отличие от линейной зависимости не превышает экспериментальной ошибки (см. табл. 1). Основным результа-

том определения радиуса пиона мы считаем вариант, в котором использовалась монопольная формула (как и в случае  $\rho$ -доминантности) и  $G_{en} = 0$ . Ему соответствует сплошная кривая на рис. 2.

В табл. 2 сравниваются результаты различных методов определения радиуса пиона.

Таблица 2

Метод измерений	$\langle r_{\pi}^2 \rangle^{1/2}, \text{ fm}$	Примечания
Электророждение пионов у порога	$0,48 \pm 0,10$	Настоящая работа
Прямой метод ( $\pi^- e^- \rightarrow \pi^- e^-$ )	$0,57 \pm 0,06$	Fermilab [10]
	$0,78 \pm 0,10$	Серпухов [14]
Электророждение в первом резонансе	$0,86 \pm 0,14$	CEA [15]
Электророждение при энергии выше резонансов	$0,704 \pm 0,007$	CEA [11]
Обратное электророждение	$0,75 \pm 0,09$	ОИЯИ [9]
Предсказание $\rho$ -доминантности	0,632	—

Наш результат в пределах ошибок согласуется с данными последнего эксперимента [10] по прямому определению радиуса пиона из рассеяния  $\pi^-$ -мезонов с энергией 100 ГэВ на электронах.

Авторы благодарны П.В.Сорокину за внимание к работе и полезную дискуссию.

Физико-технический институт  
Академии наук Украинской ССР

Поступила в редакцию  
27 сентября 1976 г.

### Литература

- [1] G.Benfatto, F.Nicolo, G.C.Rossi. Nuovo Cim., **14A**, 425, 1973.
- [2] Н.Г.Афанасьев, А.С.Есаулов, А.М.Пилипенко, Ю.И.Титов. Письма в ЖЭТФ, **22**, 400, 1975.
- [3] A.Del Guerra, A.Giazotto et al. Nucl. Phys., **B107**, 65, 1976.
- [4] A.Del Guerra, A.Giazotto et al. Nucl Phys., **B99**, 253, 1975.
- [5] P.Brauel, F.W.Büsser et al. Phys. Lett., **45B**, 389, 1973.
- [6] E.Amaldi, M.Benevantano et al. Phys. Lett., **41B**, 216, 1972.
- [7] D.H.Perkins. Invited talk, 7-th Int Symp. on Lepton and Photon Interactions, Stanford, 1975.
- [8] D.Stork. Invited talk, XVIII-th Int. Conf. on High Energy Physics, Tbilisi, July 1976.
- [9] C.J.Bebek, C.N.Brown et al. Phys. Rev., **D13**, 25, 1976.
- [10] C.Driver, K.Heinloth et al. Phys. Lett., **35B**, 77, 1971.
- [11] S.Galster, H.Klein et al. Nucl. Phys., **B32**, 221, 1971.

[12] G.T.Adylov, F.K.Aliev et al Phys. Lett., 51B, 402, 1974.

[13] C.Mistretta, J.A.Appel et al Phys. Rev., 184, 1487, 1969.

---